

Ширины резонансного рассеяния мюонов на атомных ядрах

Мухаметкалиулы Адил

Объединенный институт ядерных исследований
государственный университет «Дубна»

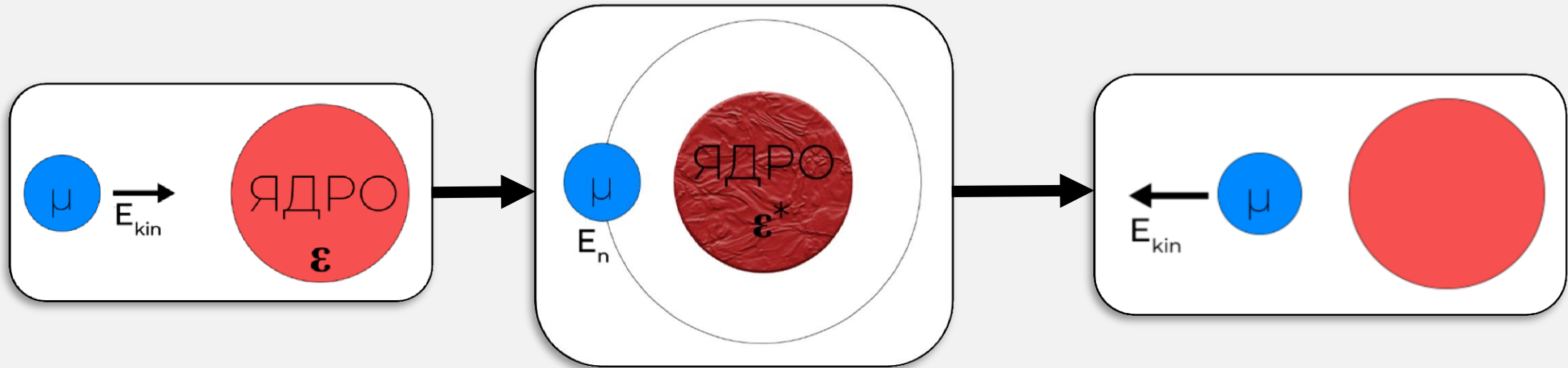
- **Цель работы:** оценка резонансных сечений и ширин при рассеянии мюонов на атомных ядрах, демонстрация возможности резонансных неупругих реакций с мюонами.
- **Объект и предмет исследования:** рассеяние мюонов на ядрах и кулоновские резонансы в сечении рассеяния
- **Теоретическая и практическая значимость исследования:** исследование позволит сделать заключение о возможности экспериментального наблюдения дипольных переходов в ядрах, что позволит получить дополнительную информацию о структурах атомных ядер, а также дать дополнительную информацию для анализа объектов мюонной томографии

РЕЗОНАНСНОЕ ПРЕДПОРОГОВОЕ УПРУГОЕ РАССЕЯНИЕ

- Резонансное рассеяние - процесс, при котором система свободных частиц с кинетической энергией, переходит к связанному состоянию и далее возвращается в первоначальное состояние (рассеяние). Мюон, налетая на ядро, образует мезоатом с возбужденным ядром, и далее возбужденное ядро посредством ЭМ перехода возвращает мюону кинетическую энергию

$$E_{kin} + \varepsilon \rightarrow E_n + \varepsilon^*$$

- У предпороговой реакции есть энергетический порог : $E_{kin} \geq \varepsilon^* - |E_n|$



Мюон налетает на ядро

Мезоатом с возбужденным ядром

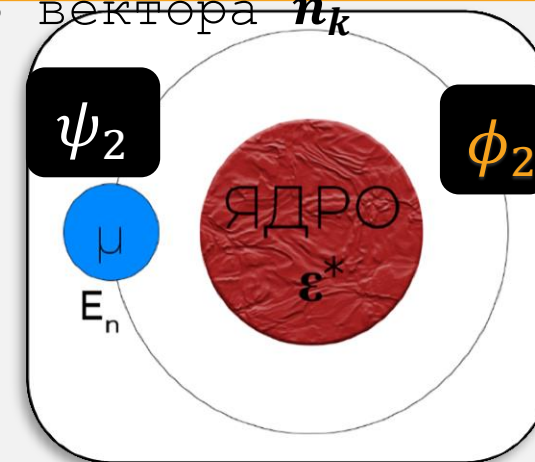
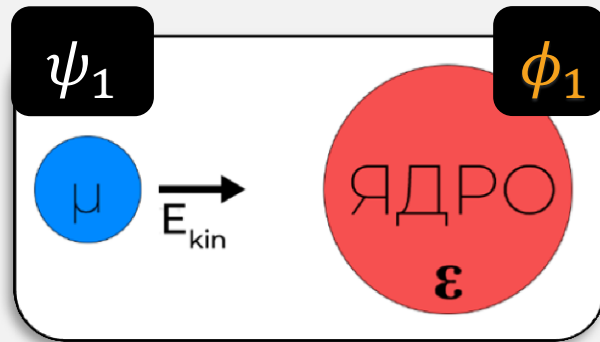
Упругое рассеяние

- Связанное состояние характеризуется временем жизни и энергетической шириной Γ , которые зависят от параметров рассматриваемого ядра и кинетической энергии системы [1-3]

$$\Gamma = \frac{mk}{4\pi^2\hbar^2} \int |\langle \psi_2 | \langle \phi_1 | V | \phi_2 \rangle | \psi_1 \rangle|^2 d\Omega_k$$

m – приведенная масса мюона и ядра, k – волновой вектор, ψ_2 – волновая функция мюона в стационарном состоянии на орбите ядра, ψ_1 – волновая функция мюона непрерывного спектра, ϕ_1 и ϕ_2 – волновые функции ядра в основном и возбужденном состояниях, V – кулоновский потенциал взаимодействия мюона с протонами ядра.

- Интегрирование по Ω_k – по направлению волнового вектора \mathbf{n}_k



- Mukhametkaliuly A., Pen'kov F. M. Резонансное рассеяние μ -мезонов на атомных ядрах //Вестник. Серия Физическая (ВКФ). – 2023. – Т. 85. – №. 2. – 4-11 с.
- Базь А. И., Зельдович Я. Б. Переломов А.М. Рассеяние, реакции и распады в нерелятивистской квантовой механике – М.: Наука. – 1971. – 544 с.
- Feshbach H. Unified theory of nuclear reactions //Annals of Physics. – 1958. – Т. 5. – №. 4. – С. 357-390

- Помещаем начало координат в центр ядра: \mathbf{r} – радиус вектор мюона, \mathbf{r}_i – радиус вектор i -го протона. Потенциал:

$$V = - \sum \frac{e^2}{|\mathbf{r} - \mathbf{r}_i|} = |r \gg r_i| = -\frac{e^2 Z}{r} + \frac{e d \mathbf{n}_r}{r^2} + \dots$$

Z, \mathbf{d} – заряд и дипольный момент ядра.

Матричный элемент:

$$\langle \phi_1 | V | \phi_2 \rangle = -\frac{e^2 Z}{r} \langle \phi_1 | \phi_2 \rangle + \frac{e}{r^2} \langle \phi_1 | d \mathbf{n}_r | \phi_2 \rangle + \dots = \frac{e}{r^2} \langle \phi_1 | P_1(\mathbf{n}_d \mathbf{n}_r) d | \phi_2 \rangle + \dots$$

P_1 – полином Лежандра 1-й степени

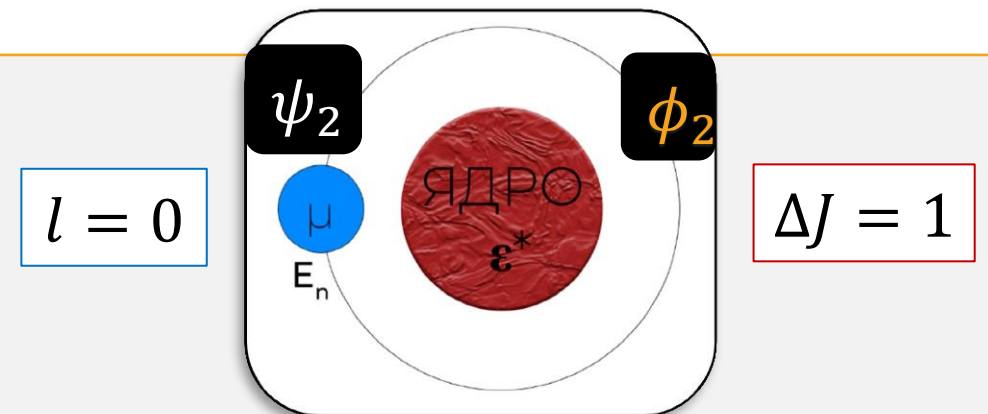
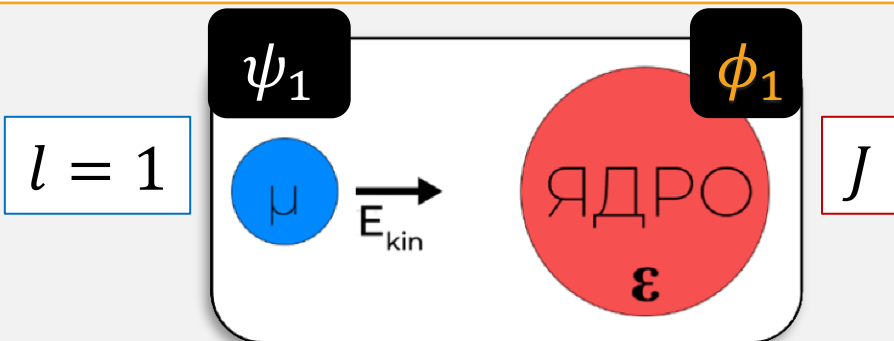
- Доминировать будут электрические дипольные переходы $\Delta J^P = 1^-$

$$\langle \phi_1 | V | \phi_2 \rangle = \frac{e}{r^2} \langle \phi_1 | P_1(\mathbf{n}_d \mathbf{n}_r) d | \phi_2 \rangle$$

- Вначале рассмотрим ситуацию формирования мезоатома в основном состоянии, т.е. с волновыми функциями для мюона со следующими квантовыми числами:

ψ_2 : с главным числом $n = 1$ и числом орбитального момента $l = 0$

ψ_1 : с числом орбитального момента $l = 1$



ИСПОЛЬЗОВАННЫЕ ФУНКЦИИ

Вначале в качестве функции непрерывного спектра мюона рассматривалась функция плоской волны, а при новом вычислении – более точная кулоновская функция непрерывного спектра. Были использованы хорошо известные функции плоской волны и кулоновские функции для положительных и отрицательных энергий [4]

1. Функция плоской волны мюона

$$\psi_1 = -\frac{3i}{k} \frac{d}{dr} \left(\frac{\sin(kr)}{kr} \right) P_1(\mathbf{n}_k \mathbf{n}_r)$$

2. Кулоновская функция мюона

$$\psi_1 = \sqrt{\frac{2\pi k a \left(1 + \frac{1}{(ka)^2}\right)}{1 - e^{-\frac{2\pi}{ka}}}} \frac{ie^{i\delta_1}}{a} r e^{-ikr} F\left(\frac{i}{ka} + 2, 4, 2ikr\right) P_1(\mathbf{n}_k \mathbf{n}_r)$$

В качестве функции связанного состояния везде используется

$$\psi_2 = \frac{e^{-\frac{r}{a}}}{\sqrt{\pi a^3}}$$

a – боровский радиус орбиты мюона, $F\left(\frac{i}{ka} + 2, 4, 2ikr\right)$ – гипергеометрическая функция

ПОЛУЧЕНИЕ ВЫРАЖЕНИЯ ДЛЯ ШИРИНЫ

Свойство полиномов Лежандра (нужно для вывода):

$$\int P_l(\mathbf{n}_1 \mathbf{n}_2) P_{l'}(\mathbf{n}_1 \mathbf{n}_3) d\mathbf{n}_1 = \delta_{ll'} \frac{4\pi}{2l+1} P_l(\mathbf{n}_2 \mathbf{n}_3)$$

Формула ширины:

$$\Gamma = \frac{mk}{4\pi^2 \hbar^2} \int |\langle \psi_2 | \langle \phi_1 | V | \phi_2 \rangle | \psi_1 \rangle|^2 d\mathbf{n}_k$$

• Введем функцию ψ'_1 без полинома P_1 :

$$\psi_1 = \psi'_1 P_1(\mathbf{n}_k \mathbf{n}_r)$$

Перепишем формулу ширины в виде интеграла:

$$\begin{aligned} \Gamma &= \frac{me^2 k}{4\pi^2 \hbar^2} \int \left| \iint \psi_2 \langle \phi_1 | P_1(\mathbf{n}_d \mathbf{n}_r) d | \phi_2 \rangle \psi'_1 P_1(\mathbf{n}_k \mathbf{n}_r) dr d\mathbf{n}_r \right|^2 d\mathbf{n}_k = \\ &= \frac{me^2 k}{4\pi^2 \hbar^2} \int \left| \int \psi_2 \left\langle \phi_1 \left| d \int (P_1(\mathbf{n}_d \mathbf{n}_r) P_1(\mathbf{n}_k \mathbf{n}_r)) d\mathbf{n}_r \right| \phi_2 \right\rangle \psi'_1 dr \right|^2 d\mathbf{n}_k \end{aligned}$$

Используем свойство полиномов выше:

$$\int P_1(\mathbf{n}_d \mathbf{n}_r) P_1(\mathbf{n}_k \mathbf{n}_r) d\mathbf{n}_r = \frac{4\pi}{3} P_1(\mathbf{n}_d \mathbf{n}_k)$$

Формула примет вид:

$$\Gamma = \left(\frac{4\pi}{3}\right)^2 \frac{me^2 k}{4\pi^2 \hbar^2} \int \left(\left| \int \psi_2 \langle \phi_1 | P_1(\mathbf{n}_d \mathbf{n}_r) d | \phi_2 \rangle \psi'_1 dr \right|^2 \right) d\mathbf{n}_k$$

Снова используем свойство полиномов

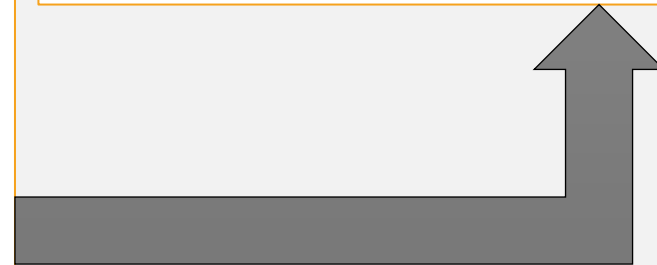
$$\int P_1(\mathbf{n}_d \mathbf{n}_k) P_1(\mathbf{n}_d \mathbf{n}_k) d\mathbf{n}_k = \frac{4\pi}{3} P_1(\mathbf{n}_d \mathbf{n}_d) = \frac{4\pi}{3}$$

а также перепишем матричный элемент

$$\langle \phi_1 | d | \phi_2 \rangle = d_{12}$$

• Конченное выражение примет вид

$$\Gamma = \frac{16\pi m k e^2 |d_{12}|^2}{27 \hbar^2} \left(\int_0^\infty \psi_2 \psi'_1 dr \int_0^\infty \psi_1'^* \psi_2^* dr \right)$$



- Используя выражение

$$\Gamma = \frac{16\pi mke^2 |d_{12}|^2}{27 \hbar^2} \left(\int_0^\infty \psi_2 \psi_1' dr \int_0^\infty \psi_1'^* \psi_2^* dr \right),$$

после интегрирования получены формулы ширин Γ_{el} и Γ_{elc} для 2-х случаев:

1) ψ_1 — функция плоской волны

$$\psi_1 = -\frac{3i}{k} \frac{d}{dr} \left(\frac{\sin(kr)}{kr} \right) P_1(\mathbf{n}_k \mathbf{n}_r)$$

2) ψ_1 — кулоновская функция непрерывного спектра

$$\psi_1 = \sqrt{\frac{2\pi ka \left(1 + \frac{1}{(ka)^2}\right) e^{i\delta_1}}{1 - e^{-\frac{2\pi}{ka}}}} \frac{1}{a} r e^{-ikr} F\left(\frac{i}{ka} + 2, 4, 2ikr\right) P_1(\mathbf{n}_k \mathbf{n}_r)$$

$$\Gamma_{el} = \frac{16 me^2 |d_{12}|^2}{3 \hbar^2 a^3 k} \left(1 - \frac{\arctan(ka)}{ka}\right)^2$$

$$\Gamma_{elc} = \frac{32\pi me^2 |d_{12}|^2 \left| F\left(\frac{i}{ka} + 2, 2, 4, \frac{2ika}{1 + ika}\right) \right|^2}{27 \hbar^2 a^2 (1 - e^{-2\pi/ka}) (1 + (ka)^2)}$$

- Далее, для численной оценки ширины примем одночастичное дипольное возбуждение ядра с A нуклонами

$$d_{12} = eR = e * 1.4 A^{1/3}$$

ШИРИНЫ РЕЗОНАНСОВ

- Посчитаны ширины для нескольких подходящих ядер; все ядра стабильны.

Ядро	Переход	E_1 , МэВ	ε^* (эксп.), МэВ	E_{kin} , МэВ	Γ_{el} , эВ	Γ_{elc} , эВ
^{11}Be	$1/2^- \rightarrow 1/2^+$	0.045	0.32	0.275	7.8	9.81
^{13}C	$3/2^+ \rightarrow 1/2^-$	0.102	8.2	8.10	14	14.08
^{16}O	$1^- \rightarrow 0^+$	0.18	7.12	6.94	35	36.1
^{47}Ti	$3/2^+ \rightarrow 5/2^-$	1.362	1.83	0.468	88	698
^{75}As	$1/2^+ \rightarrow 3/2^-$	3.064	7.65	4.59	1083	2392
	$1/2^- \rightarrow$					

E_1 — энергия связанного состояния мюона в мезоатоме (водородоподобный атом),
 ε^* — энергия возбуждения ядра, E_{kin} — кинетическая энергия системы.

СООТНОШЕНИЕ ВЫРАЖЕНИЙ ДЛЯ ШИРИН

$$\Gamma_{elC} = \frac{32\pi me^2 d^2}{27 \hbar^2 a^2 (1 - e^{-2\pi/ka})(1 + (ka)^2)} \left| F\left(\frac{i}{ka} + 2, 2, 4, \frac{2ika}{1 + ika}\right) \right|^2$$

$$\Gamma_{el} = \frac{16 me^2 d^2}{3 \hbar^2 a^3 k} \left(1 - \frac{\arctan(ka)}{ka}\right)^2$$

$$\frac{\Gamma_{elC}}{\Gamma_{el}} = \frac{2\pi ka}{9} \frac{\left| F\left(\frac{i}{ka} + 2, 2, 4, \frac{2ika}{1 + ika}\right) \right|^2}{(1 - e^{-\frac{2\pi}{ka}})(1 + (ka)^2)}$$

$$r_n = \frac{4\pi\epsilon_0 \hbar^2 n^2}{me^2 Z}, Z \rightarrow 0, ka \rightarrow \infty$$

$$\lim_{ka \rightarrow \infty} \frac{\Gamma_{elC}}{\Gamma_{el}} = \frac{|F(2,2,4,2)|^2}{9} = 1$$

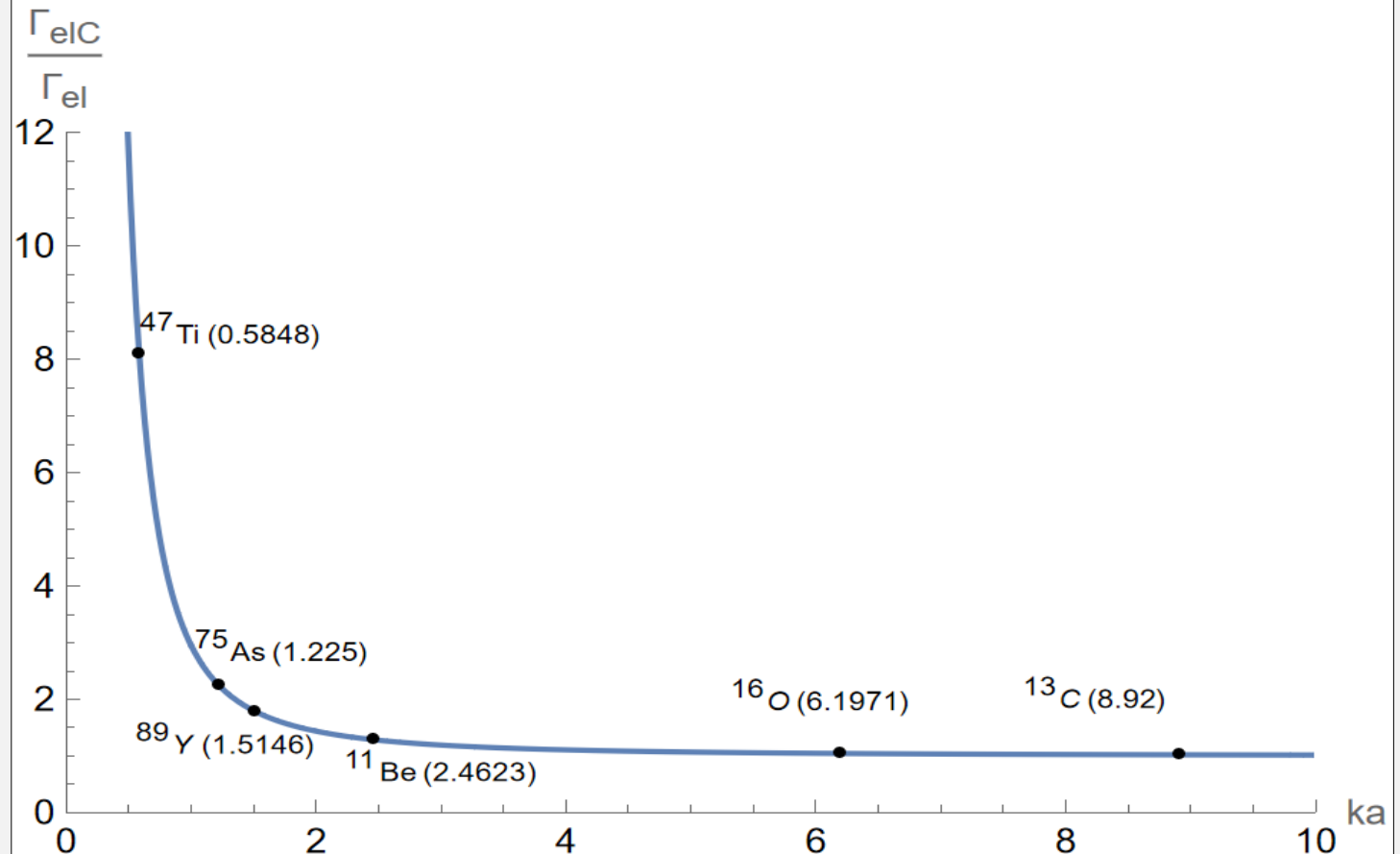


График зависимости отношения Γ_{elC}/Γ_{el} от ka . На графике обозначены ядра и соответствующие значения ka в скобках.

- При $ka \gg 1$ Γ_{elC} асимптотически стремится к Γ_{el} .
- Как видно из таблицы, для титана заметно ошутимое увеличение ширины при учете кулоновского взаимодействия.

ВОЗМОЖНОСТЬ ИЗМЕРЕНИЯ

Ядро	E_{kin} , МэВ	Γ_{elc} , эВ	Γ_{elc}/E_{kin}
^{11}Be	0.275	9.81	$3.5 \cdot 10^{-5}$
^{13}C	8.10	14.08	$1.7 \cdot 10^{-6}$
^{16}O	6.94	36.1	$5.2 \cdot 10^{-6}$
^{47}Ti	0.468	698	$1.5 \cdot 10^{-3}$
^{75}As	4.59	2392	$5.2 \cdot 10^{-4}$
^{89}Y	9.79	3852	$3.9 \cdot 10^{-4}$



$$d_{12} = eR$$

- Предполагалось, измеряя ширину экспериментально, вычислять значение матричного элемента $\langle \phi_1 | d | \phi_2 \rangle = d_{12}$.
- Мюонная техника позволяет получать энергетическое разрешение пучков до 10^{-4} [5, 6]. Измерений с легкими ядрами не провести.

5. Delahaye J. P. et al. Muon colliders //arXiv preprint arXiv:1901.06150. - 2019

6. Grillenberger J., Baumgarten C., Seidel M. The high intensity proton accelerator facility //SciPost Physics Proceedings. - 2021. - №. 5. - P. 002.1-002.18

ШИРИНА РАССЕЯНИЯ ДЛЯ ВОЗБУЖДЕННОГО МЕЗОАТОМА

- Ширина рассеяния ($ka \gg 1$) для возбужденного мезоатома в состоянии $2S$, когда мюон находится на второй орбите для волновой функции связанного состояния ψ_2 ($n = 2, l = 0$)

$$\psi_2 = \frac{e^{-\frac{r}{2a_2}} \left(1 - \frac{r}{2a_2}\right)}{\sqrt{8\pi a_2^3}}$$

имеет вид

$$\Gamma_{el2} = \frac{2me^2 |d_{12}|^2}{3 k_2 a_2^3 \hbar^2} \left(\frac{2 \operatorname{arctg}(2a_2 k_2) - 2a_2 k_2 \left(1 + \frac{1}{1 + (2a_2 k_2)^2}\right)}{2a_2 k_2} \right)^2$$

- Сравнение с выражением ширины Γ_{el} для мезоатома в основном состоянии

$$\Gamma_{el1} = \frac{16me^2 d^2}{3 \hbar^2 a^3 k} \left(1 - \frac{\arctan(ka)}{ka}\right)^2$$

дает соотношение

$$\frac{\Gamma_{el2}}{\Gamma_{el1}} \approx 2 \cdot 10^{-3}$$

- Здесь измерения тем более не выполнимы.

СРАВНЕНИЕ С ШИРИНАМИ ЯДЕРНЫХ ПЕРЕХОДОВ

ПОЛНЫЕ СЕЧЕНИЯ РЕАКЦИИ

Ядро	Γ_{elc} , эВ	Γ_N , эВ	Моды распада
^{11}Be	9.81	$5 \cdot 10^4$	γ , [7]
^{13}C	14.08	$1.1 \cdot 10^6$	γ , n, [8]
^{16}O	36.1	$5.2 \cdot 10^{-2}$	γ , [9]
^{47}Ti	698	$3.1 \cdot 10^{-4}$	γ , [11]
^{75}As	2392	0.55	γ , [11]
^{89}Y	3852	$5 \cdot 10^4$	γ , [12]

Ядро	σ_t , б
^{11}Be	0.05
^{13}C	$1.1 \cdot 10^{-4}$
^{16}O	10.1
^{47}Ti	149.6
^{75}As	15.1
^{89}Y	0.55

$$\sigma_t = \frac{12\pi}{k^2}, \Gamma_{elc} \gg \Gamma_N$$

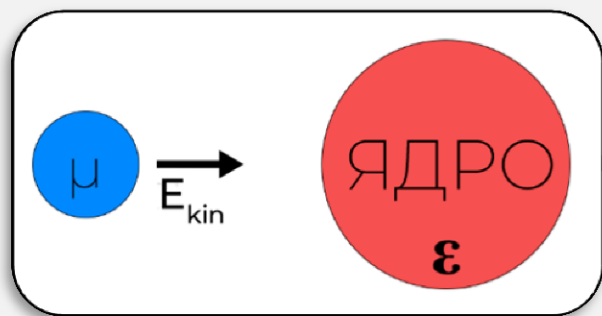
$$\sigma_t = \frac{12\pi}{k^2} \frac{\Gamma_{elc}}{\Gamma_N}, \Gamma_N \gg \Gamma_{elc}$$

7. Nakamura T. et al. Coulomb excitation of ^{11}Be //Physics Letters B. – 1997. – Vol. 394. – №. 1-2. – P. 11-15.
 8. Ajzenberg-Selove F. Energy levels of light nuclei A= 3-15 //Nucl. Phys. – 1976. – Vol. 268. – P. 1.
 9. Tilley D. R., Weller H. R., Cheves C. M. Energy levels of light nuclei A= 16-17 //Nuclear Physics A. – 1993. –

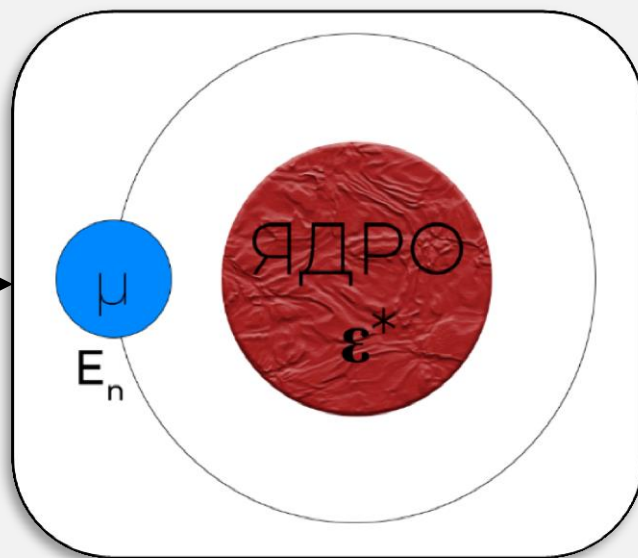
Vol. 564. – №. 1. – P. 1-183

10. NRV low energy Nuclear Knowledge Base
<http://nrv.jinr.ru/nrv/>
 11. NNDC Nuclear Data Center
https://www.nndc.bnl.gov/nudat3/indx_adopted.jsp

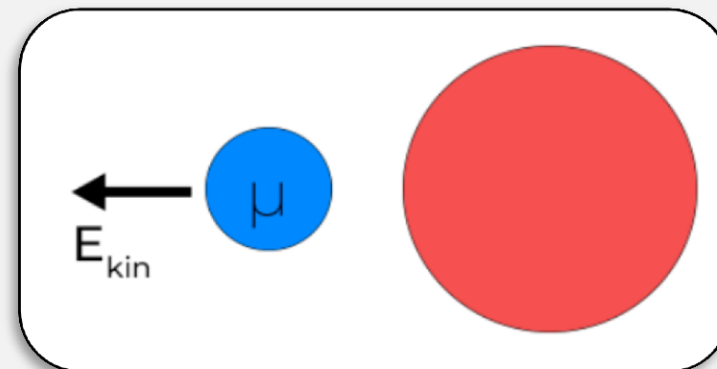
СХЕМА РЕАКЦИИ



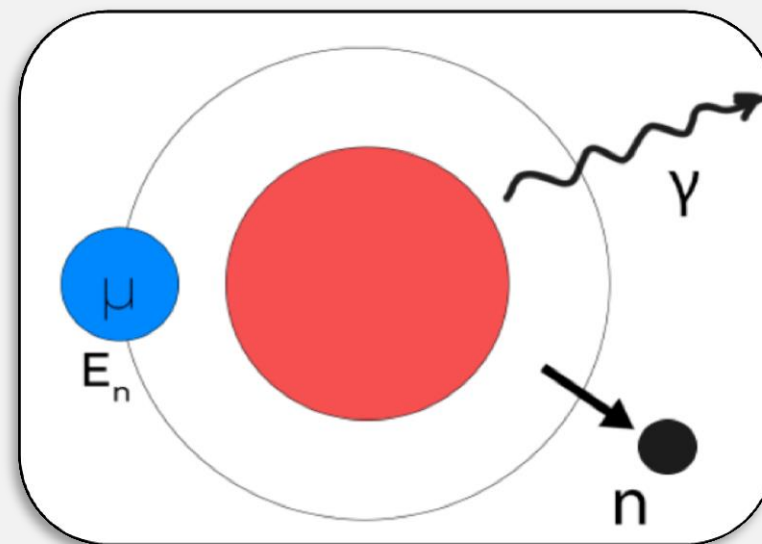
Мезон налетает на ядро



Мезоатом с возбужденным ядром



$\Gamma_N < \Gamma_{elc}$
Упругое рассеяние



$\Gamma_N > \Gamma_{elc}$
Неупругая реакция

- При условии $\Gamma_N > \Gamma_{elc}$, т.е. $\tau_{el} > \tau_N$ в первую очередь будет происходить ядерный переход с образованием мезоатома. Это означает, что возможны резонансные ядерные реакции с мезонами, в результате которых будут испущены γ -кванты, нейтроны или более тяжелые кластеры.

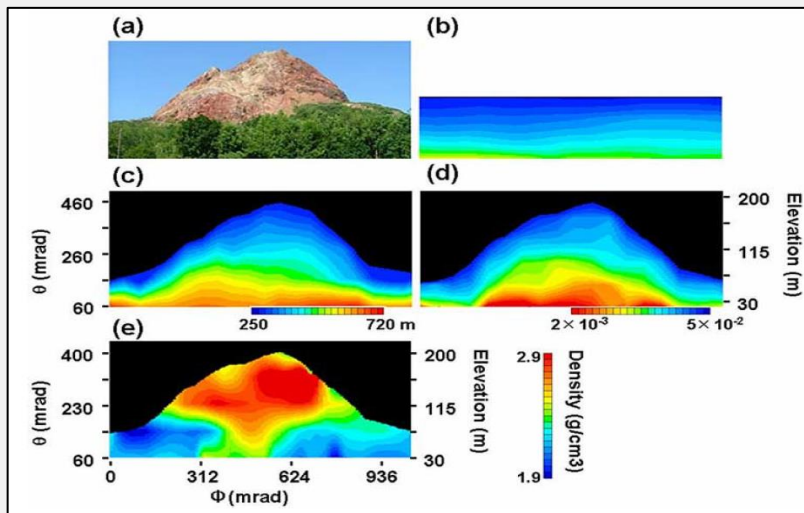
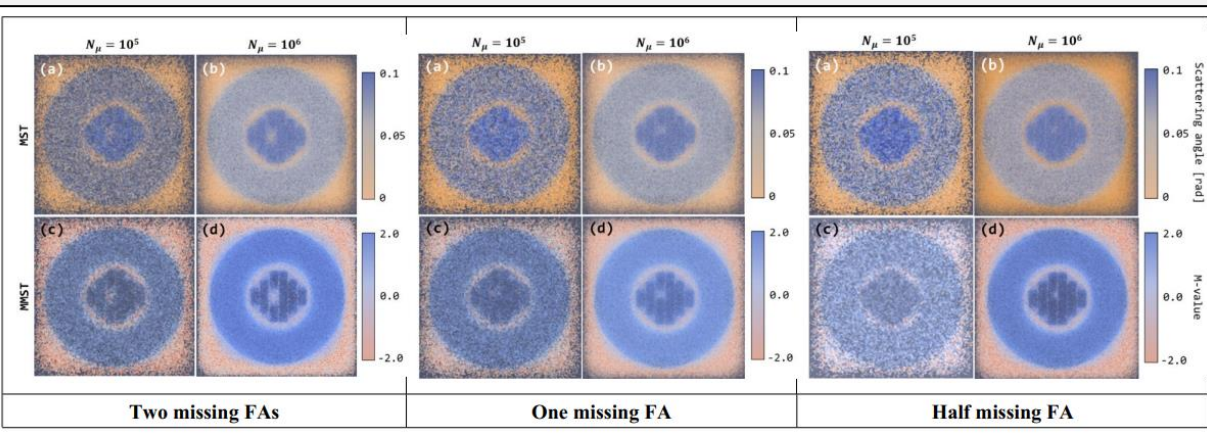
ВЫВОДЫ

- Эксперименты для определения матричных элементов дипольных переходов в легких ядрах на сегодняшний день невыполнимы, поскольку относительная ширина меньше существующего разрешения по энергии мюонных пучков на фабриках и составляет $\sim 10^{-4}$
- Ширины упругих резонансов на тяжелых ядрах титана, мышьяка и иттрия могут быть определены уже при существующей технологии получения мюонных пучков.
- Возникает возможность резонансного возбуждения ядер за счет мюонов с последующим ядерным распадом возбужденного ядра. Можно говорить о распаде резонансно возбужденного ядра.
 - При этом, с учетом параметров гигантских дипольных резонансов, резонансные распады ядер можно распространить и на резонансное деление тяжелых ядер.
 - В случае ядерного перехода можно определить свойства и структуру ядер или состав мишени

ВОЗМОЖНОСТИ ПРИМЕНЕНИЯ РЕЗОНАНСНОГО РАСПАДА В МЮНОГРАФИИ

Ядро	$\Gamma_{\text{elc}}, \text{эВ}$	$\Gamma_{\text{N}}, \text{эВ}$	Моды распада
^{13}C	14.08	$1.1 \cdot 10^6$	γ, n [5]
^{89}Y	3852	$5 \cdot 10^4$	γ , [8]

- Условию $\Gamma_{\text{N}} > \Gamma_{\text{elc}}$ соответствуют ядра ^{13}C и ^{89}Y из таблицы.
- Мюонная радиография основывается на процессах рассеяния и поглощения в веществе с последующей регистрацией потока прошедших мюонов. В качестве источника мюонов в этом методе используется естественный поток космического излучения, регистрация происходит с помощью детекторов ядерной эмульсии. Результатом радиографии является мюонное изображение объекта.
- На рисунках изображены картины мюонной томографии вулканического купола Сёва-синзан (Япония) [12] и отработанного ядерного топлива в сухом контейнере для хранения [13]



12. Tanaka H. K. M. et al. Imaging the conduit size of the dome with cosmic-ray muons // Geophysical Research Letters. - 2007. - Т. 34. - №. 22.
13. Bae J. H., Montgomery R., Chatzidakis S. Momentum informed muon scattering tomography // Scientific Reports. - 2024. - Т.

СПАСИБО ЗА ВНИМАНИЕ

СПИСОК ИСТОЧНИКОВ

1. A. Mukhametkaliuly, F.M. Pen'kov, Resonant scattering of μ^- mesons by atomic nuclei. Recent Contributions to Physics. 2023. №2 (85). P. 4-11
2. Базь А. И., Зельдович Я. Б. Переломов А.М. Рассеяние, реакции и распады в нерелятивистской квантовой механике – М.: Наука. – 1971. – 544 с.
3. Feshbach H. Unified theory of nuclear reactions //Annals of Physics. – 1958. – Т. 5. – №. 4. – С. 357-390
4. Ландау Л. Д., Лифшиц Е. М. Квантовая механика: Нерелятивистская теория. – М.: Наука, 1989. – 752 с.
5. Nakamura T. et al. Coulomb excitation of ^{11}Be //Physics Letters B. – 1997. – Vol. 394. – №. 1-2. – P. 11-15.
6. Ajzenberg-Selove F. Energy levels of light nuclei $A= 3-15$ //Nucl. Phys. – 1976. – Vol. 268. – P. 1.
7. Tilley D. R., Weller H. R., Cheves C. M. Energy levels of light nuclei $A= 16-17$ //Nuclear Physics A. – 1993. – Vol. 564. – №. 1. – P. 1-183
8. NRV low energy Nuclear Knowledge Base <http://nrv.jinr.ru/nrv/>
9. NNDC Nuclear Data Center https://www.nndc.bnl.gov/nudat3/indx_adopted.jsp
10. Delahaye J. P. et al. Muon colliders //arXiv preprint arXiv:1901.06150. – 2019
11. Grillenberger J., Baumgarten C., Seidel M. The high intensity proton accelerator facility //SciPost Physics Proceedings. – 2021. – №. 5. – P. 002.1-002.18
12. Tanaka H. K. M. et al. Imaging the conduit size of the dome with cosmic-ray muons: The

ПРИЛОЖЕНИЕ (РАСЧЕТЫ)

Записываем выражение для ширины дипольного перехода

$$\Gamma = \frac{mk}{\pi} \int \left| \left\langle \psi_{22} \left| \left\langle \phi_1 \left| \frac{(\mathbf{n}_d \mathbf{n}) d}{r^2} \right| \phi_2 \right\rangle \right| \psi_{11} \right\rangle \right|^2 \frac{d\Omega}{4\pi} \quad (1)$$

Расписываем дипольный потенциал через полином Лежандра по формуле (M1)

$$\left\langle \psi_{22} \left| \left\langle \phi_1 \left| \frac{(\mathbf{n}_d \mathbf{n}_r) d}{r^2} \right| \phi_2 \right\rangle \right| \psi_{11} \right\rangle = \left\langle \psi_{22} \left| \left\langle \phi_1 \left| \frac{P_1(\mathbf{n}_d \mathbf{n}) d}{r^2} \right| \phi_2 \right\rangle \right| \psi_{11} \right\rangle$$

$$\langle \phi_1 | d | \phi_2 \rangle = d_{12}$$

Переписываем в виде интеграла матричный элемент внешних функций (мезонных), здесь интегрирование идет по направлению радиус вектора $d^3\mathbf{r} = d^3r d\mathbf{n}$

$$\left\langle \psi_{22} \left| \left\langle \phi_1 \left| \frac{P_1(\mathbf{n}_d \mathbf{n}) d}{r^2} \right| \phi_2 \right\rangle \right| \psi_{11} \right\rangle = d_{12} \left\langle \psi_{22} \left| \frac{P_1(\mathbf{n}_d \mathbf{n}_r)}{r^2} \right| \psi_{11} \right\rangle = d_{12} \iint \psi_{22} \frac{P_1(\mathbf{n}_d \mathbf{n})}{r^2} \psi_{11} d\mathbf{n} r^2 dr \quad (2)$$

$$\psi_{22}(l=0) = \frac{e^{-\frac{r}{a}}}{\sqrt{\pi a^3}}$$

Возвращаемся к (1) подставляя туда (2)

$$\Gamma = \frac{mk}{\pi} \int \left| d_{12} \iint \psi_{22} \frac{P_1(\mathbf{n}_d \mathbf{n})}{r^2} \psi_{11} r^2 d\mathbf{n} dr \right|^2 \frac{d\Omega}{4\pi}$$

Теперь раскрываем квадрат модуля

$$\left| d_{12} \iint \psi_{22} \frac{P_1(\mathbf{n}_d \mathbf{n})}{r^2} \psi_{11} d\mathbf{n} dr \right|^2$$

$$= d_{12}^2 \iint \psi_{22} \frac{P_1(\mathbf{n}_d \mathbf{n})}{r^2} \psi_{11} r^2 d\mathbf{n} dr * \iint \psi_{11} \frac{P_1(\mathbf{n}_d \mathbf{n})}{r^2} \psi_{22} r^2 d\mathbf{n} dr$$

Ширина переписется

$$\Gamma = \frac{mk}{\pi} \int \left(d_{12}^2 \iint \psi_{22} \frac{P_1(\mathbf{n}_d \mathbf{n})}{r^2} \psi_{11} r^2 d\mathbf{n} dr * \iint \psi_{11} \frac{P_1(\mathbf{n}_d \mathbf{n})}{r^2} \psi_{22} r^2 d\mathbf{n} dr \right) \frac{d\Omega}{4\pi}$$

Сейчас нужно показать вид функции ψ_{11} , которая содержит полином Лежандра от направлений $P_1(\mathbf{k}\mathbf{n})$

$$\psi_{11}(l=1) = \frac{3i}{k} P_1(\mathbf{k}\mathbf{n}) \frac{d}{dr} \left(\frac{\text{sinkr}}{kr} \right)$$

Для удобства обозначаем функцию ψ_{11} без полинома Лежандра $\psi'_{11} = -\frac{3i}{k} \frac{d}{dr} \left(\frac{\text{sinkr}}{kr} \right)$.

$$\Gamma = \frac{mk}{\pi} \int \left(d_{12}^2 \iint \psi_{22} \frac{P_1(\mathbf{n}_d \mathbf{n}) P_1(\mathbf{k}\mathbf{n})}{r^2} \psi'_{11} r^2 d\mathbf{n} dr * \iint \psi'_{11} \frac{P_1(\mathbf{n}_d \mathbf{n}) P_1(\mathbf{k}\mathbf{n})}{r^2} \psi_{22} r^2 d\mathbf{n} dr \right) \frac{d\Omega}{4\pi}$$

Вспользуемся свойством (M2) для полиномов Лежандра чтобы избавиться от интегрирования по \mathbf{n} . Видно, что этот полином не зависит от r и выносится в интегрирование по Ω

$$\int P_1(\mathbf{n}_d \mathbf{n}) P_1(\mathbf{k}\mathbf{n}) d\mathbf{n} = \frac{4\pi}{3} P_1(\mathbf{n}_d \mathbf{k})$$

$$\Gamma = \left(\frac{4\pi}{3} \right)^2 \frac{mk}{\pi} \int P_1(\mathbf{n}_d \mathbf{k}) \left(d_{12}^2 \int \psi_{22} \frac{1}{r^2} \psi'_{11} r^2 dr * \int \psi'_{11} \frac{1}{r^2} \psi_{22} r^2 dr \right) P_1(\mathbf{n}_d \mathbf{k}) \frac{d\Omega}{4\pi}$$

Интегрирование по $d\Omega$ означает интегрирование по вектору \mathbf{n}_k . Снова используем (M2) и избавляемся от $d\Omega$

$$\int P_1(\mathbf{n}_d \mathbf{k}) P_1(\mathbf{n}_d \mathbf{k}) d\mathbf{k} = \frac{4\pi}{3} P_1(\mathbf{n}_d \mathbf{n}_d) = \frac{4\pi}{3}$$

$$\Gamma = \left(\frac{4\pi}{3} \right)^3 \frac{1}{4\pi} \frac{mk}{\pi} \left(d_{12}^2 \int r^2 \psi_{22} \frac{1}{r^2} \psi'_{11} dr * \int r^2 \psi'_{11} \frac{1}{r^2} \psi_{22} dr \right)$$

P

$$P_l(\mathbf{n}\mathbf{n}') = \frac{4\pi}{2l+1} \sum_{m=-l}^l Y_{lm}^*(\mathbf{n}') Y_{lm}(\mathbf{n}) \quad (M1)$$

Формула из свойства полиномов Лежандра

$$\int P_l(\mathbf{n}_1 \mathbf{n}_2) P_{l'}(\mathbf{n}_1 \mathbf{n}_3) d\mathbf{o} = \delta_{ll'} \frac{4\pi}{2l+1} P_l(\mathbf{n}_2 \mathbf{n}_3) \quad (M2)$$

ПРИЛОЖЕНИЕ (РАСЧЕТЫ)

$$\psi_{11}(l=1) = \left(\frac{8\pi ka \left(1 + \frac{1}{(ka)^2}\right)}{1 - e^{-\frac{2\pi}{ka}}} \right)^{\frac{1}{2}} \frac{1}{6} r e^{-ikr} F\left(\frac{i}{ka} + 2, 4, 2ikr\right) * 3iP_1$$

Конечное выражение ширины после интегрирования по углам через полиномы Лежандра, ψ'_{11} – функция ψ_{11} без P_1

$$\Gamma = \left(\frac{4\pi}{3}\right)^3 \frac{1}{4\pi} \frac{mk}{\pi} \left(d_{12}^2 \int r^2 \psi_{22} \frac{1}{r^2} \psi'_{11} dr * \int r^2 \psi'_{11} \frac{1}{r^2} \psi_{22} dr \right)$$

$$\left(\frac{8\pi ka \left(1 + \frac{1}{(ka)^2}\right)}{1 - e^{-\frac{2\pi}{ka}}} \right)^{\frac{1}{2}} * \frac{i}{2} * \frac{1}{\sqrt{\pi a^3}} = C$$

$$\begin{aligned} \int r^2 \psi_{22} \frac{1}{r^2} \psi'_{11} dr &= C \int \psi_{22} \psi'_{11} dr = C \int r e^{-ikr} e^{-\frac{r}{a}} F\left(\frac{i}{ka} + 2, 4, 2ikr\right) dr \\ &= C \int r e^{-\frac{r}{a} - ikr} F\left(\frac{i}{ka} + 2, 4, 2ikr\right) dr \end{aligned}$$

Интегрирование с гипергеометрической функцией

$$J_{\alpha\gamma}^{\nu} = \int_0^{\infty} e^{-\lambda z} z^{\nu} F(\alpha, \gamma, kz) dz = \Gamma(\nu + 1) \lambda^{-\nu-1} F\left(\alpha, \nu + 1, \gamma, \frac{k}{\lambda}\right)$$

Коэффициенты в выражении интеграла от гипергеом функции:

$$\alpha = \frac{i}{ka} + 2, \quad \gamma = 4, \quad z = r, \quad k = 2ik, \quad \lambda = \frac{1}{a} + ik, \quad \nu = 1$$

$$J_{1/ka+2,4}^1 = \Gamma(2) \left(\frac{1}{a} + ik\right)^{-2} F\left(\frac{i}{ka} + 2, 2, 4, \frac{2ik}{\frac{1}{a} + ik}\right)$$

Подставить в ширину

$$C \int r e^{-\frac{r}{a} - ikr} F\left(\frac{i}{ka} + 2, 2, 4, \frac{2ik}{\frac{1}{a} + ik}\right) dr = C \Gamma(2) \left(\frac{1}{a} + ik\right)^{-2} F\left(\frac{i}{ka} + 2, 2, 4, \frac{2ik\left(\frac{1}{a} - ik\right)}{\frac{1}{a^2} + k^2}\right)$$

$$C * \frac{\frac{1}{a^2} + k^2 + \frac{2ik}{a}}{\left(\frac{1}{a^2} + k^2\right)^2} F\left(\frac{-i}{ka} + 2, 2, 4, \frac{\frac{-2ik}{a} + 2k^2}{\frac{1}{a^2} + k^2}\right)$$

$$\Gamma = \left(\frac{4\pi}{3}\right)^3 d_{12}^2 \frac{1}{4\pi} \frac{mk}{\pi} \frac{C * C}{\left(\left(\frac{1}{a} + ik\right)\left(\frac{1}{a} - ik\right)\right)^2} F\left(\frac{i}{ka} + 2, 2, 4, \frac{2ik}{\frac{1}{a} + ik}\right) F\left(\frac{-i}{ka} + 2, 2, 4, \frac{2ik}{\frac{1}{a} - ik}\right)$$

$$\Gamma = \frac{16\pi}{27\hbar^2} m k d_{12}^2 \frac{C * C}{\left(\frac{1}{a^2} + k^2\right)^2} F\left(\frac{i}{ka} + 2, 2, 4, \frac{2ik}{\frac{1}{a} + ik}\right) F\left(\frac{-i}{ka} + 2, 2, 4, \frac{2ik}{-\frac{1}{a} + ik}\right)$$

$$\Gamma = \frac{32\pi m d^2}{27 \hbar^2 a^2 (1 - e^{-2\pi/ka}) (1 + (ka)^2)} \left| F\left(\frac{i}{ka} + 2, 2, 4, \frac{2ika}{1 + ika}\right) \right|^2$$